

# Mejoramiento y reconstrucción de imágenes en el dominio de la frecuencia

Felipe Sánchez Soberanis

26 de septiembre de 2022

## Contents

<b>Punto 1</b>	<b>2</b>
Resultados . . . . .	2
Bibliografía . . . . .	2
Librerías . . . . .	2
Algoritmos propios . . . . .	2
Problemas . . . . .	2
<b>Punto 2</b>	<b>3</b>
Resultados . . . . .	3
Bibliografía . . . . .	3
Librerías . . . . .	3
Algoritmos propios . . . . .	3
Problemas . . . . .	3
<b>Punto 3</b>	<b>4</b>
<b>Punto 4</b>	<b>5</b>
Resultados . . . . .	5
Bibliografía . . . . .	5
Librerías . . . . .	5
Algoritmos propios . . . . .	5
Problemas . . . . .	5
<b>Repositorio</b>	<b>6</b>
<b>Conclusiones</b>	<b>6</b>

## Punto 1

### Resultados

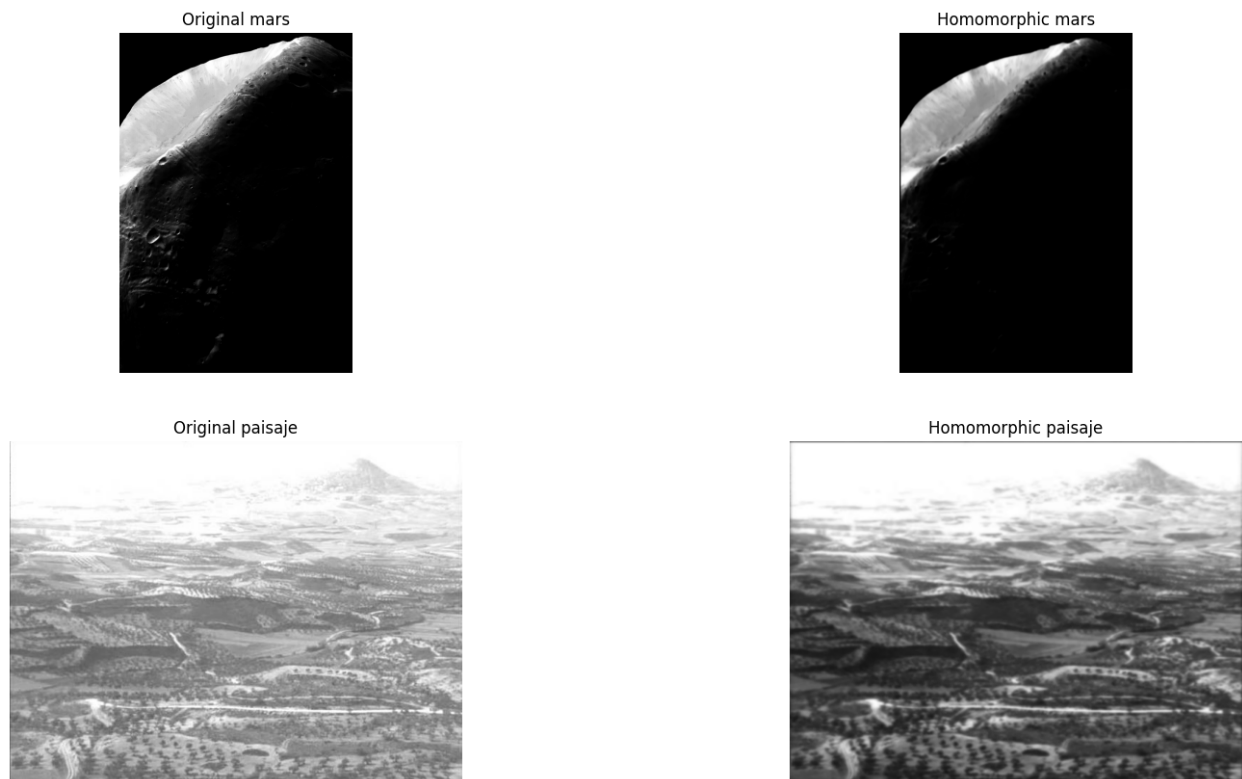


Figure 1: Resultados del punto 1.

Como se puede observar, el mejor resultado es obtenido en la imagen del paisaje, ya que es la que contiene más información, permitiendo que el algoritmo tenga más información con la que trabajar, contrario al meteorito, que tiene una gran parte de su información en un color sumamente oscuro.

### Bibliografía

N/A.

### Librerías

- opencv-contrib-python
- numpy
- matplotlib

### Algoritmos propios

N/A.

### Problemas

N/A.

## Punto 2

### Resultados

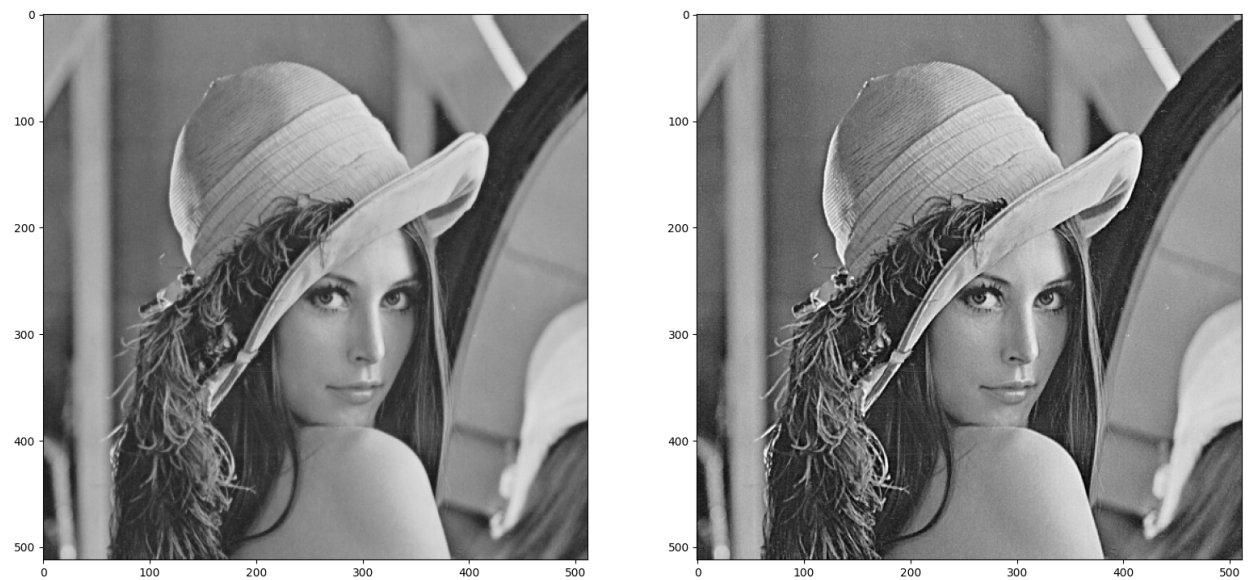


Figure 2: Resultados del punto 2.

Se puede observar claramente cómo el filtro logra que los contornos de la mujer, y del fondo, sean aumentados, permitiendo que las orillas y diferencias entre objetos sean más evidentes, logrando la meta del ejercicio.

### Bibliografía

N/A.

### Librerías

- opencv-contrib-python
- numpy
- matplotlib

### Algoritmos propios

N/A.

### Problemas

N/A.

### Punto 3

$$\begin{aligned}
 G(u, v) &= \int_{-\infty}^{\infty} \int_{-\infty}^{\infty} g(x, y) e^{-j2\pi(ux+vy)} dx dy \\
 &= \int_{-\infty}^{\infty} \int_{-\infty}^{\infty} \left[ \int_0^T f[x - x_0(t), y - y_0(t)] dt \right] e^{-j2\pi(ux+vy)} dx dy
 \end{aligned}$$

$$\begin{aligned}
 G(u, v) &= \int_0^T F(u, v) e^{-j2\pi[ux_0(t)+vy_0(t)]} dt \\
 &= F(u, v) \int_0^T e^{-j2\pi[ux_0(t)+vy_0(t)]} dt
 \end{aligned}$$

$$\begin{aligned}
 H(u, v) &= \int_0^T e^{-j2\pi ux_0(t)} dt \\
 &= \int_0^T e^{-j2\pi uat/T} dt \\
 &= \frac{T}{\pi ua} \sin(\pi ua) e^{-j\pi ua}
 \end{aligned}$$

$$H(u, v) = \frac{T}{\pi(ua + vb)} \sin[\pi(ua + vb)] e^{-j\pi(ua+vb)}$$

## Punto 4

### Resultados

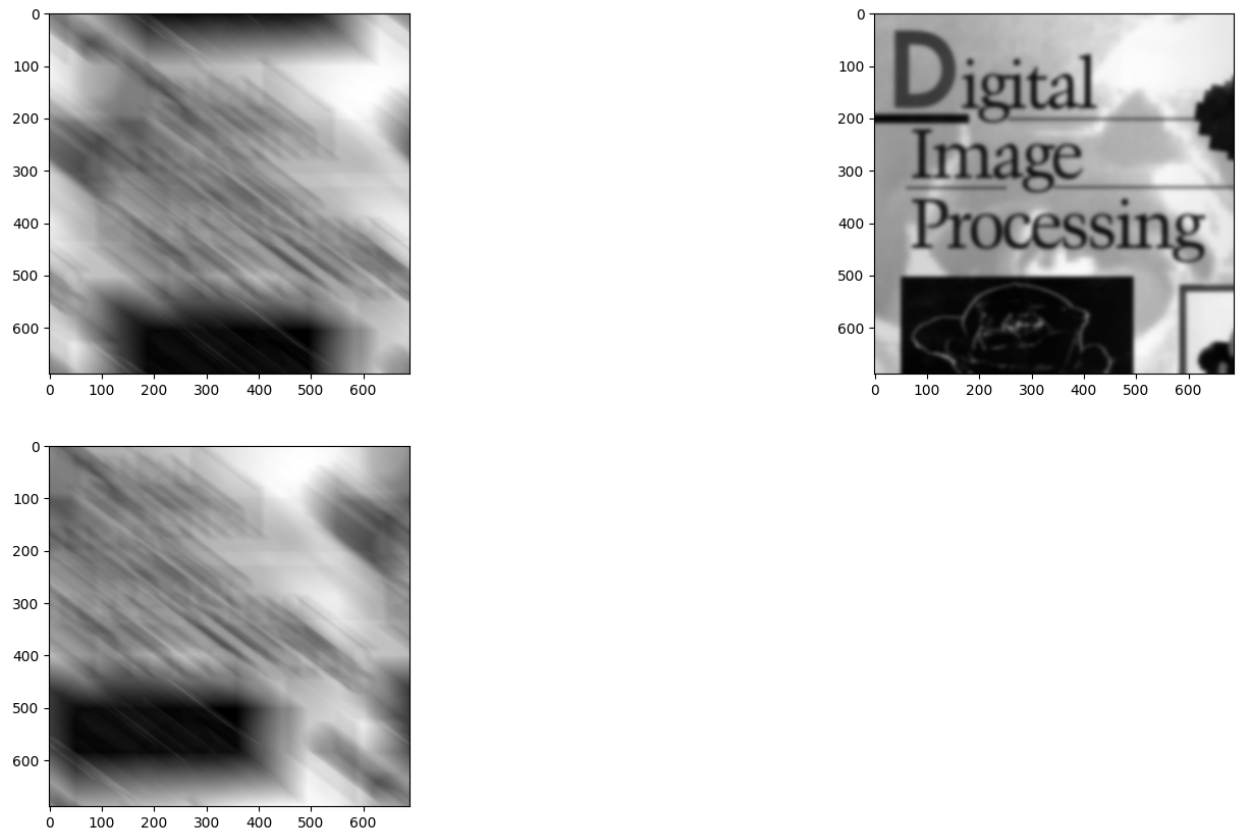


Figure 3: Resultados del punto 4.

Se puede observar que el filtro de movimiento es mejor combatido por el método de Wiener, mientras que, para el caso del filtro inverso, el resultado es peor que la entrada, indicando que es el menos indicado para este tipo de ruido o, al menos, para la magnitud del ruido.

### Bibliografía

N/A.

### Librerías

- opencv-contrib-python
- numpy
- matplotlib

### Algoritmos propios

N/A.

### Problemas

N/A.

## Repositorio

[https://github.com/FelipeSanchezSoberanis/vision-por-computadora/tree/main/mejoramiento\\_imagenes\\_frecuencia](https://github.com/FelipeSanchezSoberanis/vision-por-computadora/tree/main/mejoramiento_imagenes_frecuencia)

## Conclusiones

Estos filtros, especialmente el de high boost para poder resaltar las orillas de las imágenes, son una gran herramienta para poder complementar los filtros visto con anterioridad que pueden combatir una gran cantidad de ruido, lo que quiere decir que estos ruidos logran que la información que se pasa a los algoritmos de visión por computadora sea lo más adecuada posible para cada aplicación que se necesite.